



INSTITUTO TECNOLÓGICO DE AERONAUTICA (ITA)  
ET - 291 - SAR

VICTOR DAVI DOS SANTOS BASTOS  
GABRIEL ESPINDOLA

TITULO : Lista 1

SÃO JOSÉ DOS CAMPOS/SP  
2025

# 1 Demonstração matemática

Seja  $g(t_1, t_2)$  uma função definida em todo o domínio  $\mathcal{R}^2$  e  $G(f_1, f_2)$  a sua respectiva transformada de Fourier.

## 1.1 Inclinação bidimensional

Para a propriedade de inclinação bidimensional, a função se molda de forma que

$$g(t_1 - \alpha t_2, t_2),$$

onde  $\alpha \in \mathcal{R}$  é o ângulo de inclinação no plano  $(t_1, t_2)$ .

Pela definição da transformada de Fourier bidimensional, temos que

$$G(f_1, f_2) = \int_{-\infty}^{+\infty} \int_{-\infty}^{+\infty} g(t_1, t_2) e^{-j2\pi(f_1 t_1 + f_2 t_2)} dt_1 dt_2,$$

e para  $g(t_1 - \alpha t_2, t_2)$

$$G(f'_1, f'_2) = \int_{-\infty}^{+\infty} \int_{-\infty}^{+\infty} g(t_1 - \alpha t_2, t_2) e^{-j2\pi(f_1 t_1 + f_2 t_2)} dt_1 dt_2.$$

Aplicando uma mudança de variáveis em  $g(t_1 - \alpha t_2, t_2)$ , podemos definir as variáveis de substituição

$$v = t_1 - \alpha t_2 \implies t_1 = v + \alpha u, \quad (1)$$

$$u = t_2 \implies t_2 = u. \quad (2)$$

Aplicando o jacobiano dessa transformação, obtemos

$$J = \begin{vmatrix} \frac{\partial t_1}{\partial v} & \frac{\partial t_1}{\partial u} \\ \frac{\partial t_2}{\partial v} & \frac{\partial t_2}{\partial u} \end{vmatrix} = \begin{vmatrix} 1 & \alpha \\ 0 & 1 \end{vmatrix} = 1.$$

Dado os limites iniciais  $(-\infty, +\infty)$  de  $t_1$  e  $t_2$  as novas variáveis permanecerão com os mesmos limites de integração, obtendo assim

$$G(f'_1, f'_2) = \int_{-\infty}^{+\infty} \int_{-\infty}^{+\infty} g(v, u) e^{-j2\pi(f_1(v+\alpha u) + f_2 u)} dv du,$$

a partir do integrando obtido, podemos fatorar o conteúdo da exponencial em  $-j2\pi(vf_1 + u(\alpha f_1 + f_2))$ . Onde rearranjando obtemos

$$G(f'_1, f'_2) = \int_{-\infty}^{+\infty} \int_{-\infty}^{+\infty} g(v, u) e^{-j2\pi(vf_1 + uf_2)} e^{-j2\pi(u(f_1\alpha))} dv du,$$

o que resulta em

$$G(f'_1, f'_2) = \mathcal{F}\{g(v, u) e^{-j2\pi(u(f_1\alpha))}\} = G(f_1, \alpha f_1 + f_2).$$

## 1.2 Rotação bidimensional

Para a propriedade de rotação bidimensional, a função se molda para ser:

$$g(t'_1, t'_2),$$

onde

$$\begin{bmatrix} t'_1 \\ t'_2 \end{bmatrix} = \begin{bmatrix} \cos(\theta) & -\sin(\theta) \\ \sin(\theta) & \cos(\theta) \end{bmatrix} \begin{bmatrix} t_1 \\ t_2 \end{bmatrix},$$

dessa forma

$$t_1 = \cos \theta \cdot t'_1 + \sin \theta \cdot t'_2, \quad (3)$$

$$t_2 = -\sin \theta \cdot t'_1 + \cos \theta \cdot t'_2. \quad (4)$$

Aplicando o jacobiano dessa transformação, obtemos:

$$J = \begin{vmatrix} \frac{\partial t_1}{\partial t'_1} & \frac{\partial t_1}{\partial t'_2} \\ \frac{\partial t_2}{\partial t'_1} & \frac{\partial t_2}{\partial t'_2} \end{vmatrix} = \begin{vmatrix} \cos \theta & \sin \theta \\ -\sin \theta & \cos \theta \end{vmatrix} = 1$$

$$G(f'_1, f'_2) = \int_{-\infty}^{+\infty} \int_{-\infty}^{+\infty} g(t'_1, t'_2) e^{-j2\pi(f_1(\cos \theta \cdot t'_1 + \sin \theta \cdot t'_2) + f_2(-\sin \theta \cdot t'_1 + \cos \theta \cdot t'_2))} dt'_1 dt'_2$$

onde fatorando o termo da exponencial em função de  $t'_1$  e  $t'_2$ , obtemos

$$t'_1(f_1 \cos \theta - f_2 \sin \theta) + t'_2(f_1 \sin \theta + f_2 \cos \theta)$$

o que resulta em

$$\begin{aligned}
G(f'_1, f'_2) &= G(f_1 \cos \theta - f_2 \sin \theta, f_1 \sin \theta + f_2 \cos \theta) \\
&= \mathcal{F}\{g(t'_1, t'_2) e^{j2\pi t'_1 f_2 \sin \theta} e^{-j2\pi t'_2 f_1 \sin \theta}\}.
\end{aligned} \tag{5}$$

## 2 Aplicação computacional

Para a reprodução dos dados, foi usada a linguagem computacional **Python**, muito utilizada para processamento de imagens e tratamento de dados.

### 2.1 Inclinação bidimensional

Foi criada uma função *shear\_image* para gerar a inclinação, que é dada abaixo:

```
def shear_image(img, a = 0, b = 0): # a: inclina o na horizontal,
    b: inclina o na vertical

    transformada = np.zeros_like(img)

    c = img.shape[0] // 2 # centro da imagem

    for x in range(img.shape[0]):
        for y in range(img.shape[1]):
            # Coordenadas centralizadas
            x_c = x - c
            y_c = y - c
            # Aplica inclina o centralizada
            x_src = int(round(x_c - a * y_c)) + c
            y_src = int(round(y_c - b * x_c)) + c
            if 0 <= x_src < img.shape[0] and 0 <= y_src < img.shape[1]:
                transformada[x, y] = img[x_src, y_src]
            else:
                transformada[x, y] = 0 # fora da imagem
    return transformada
```

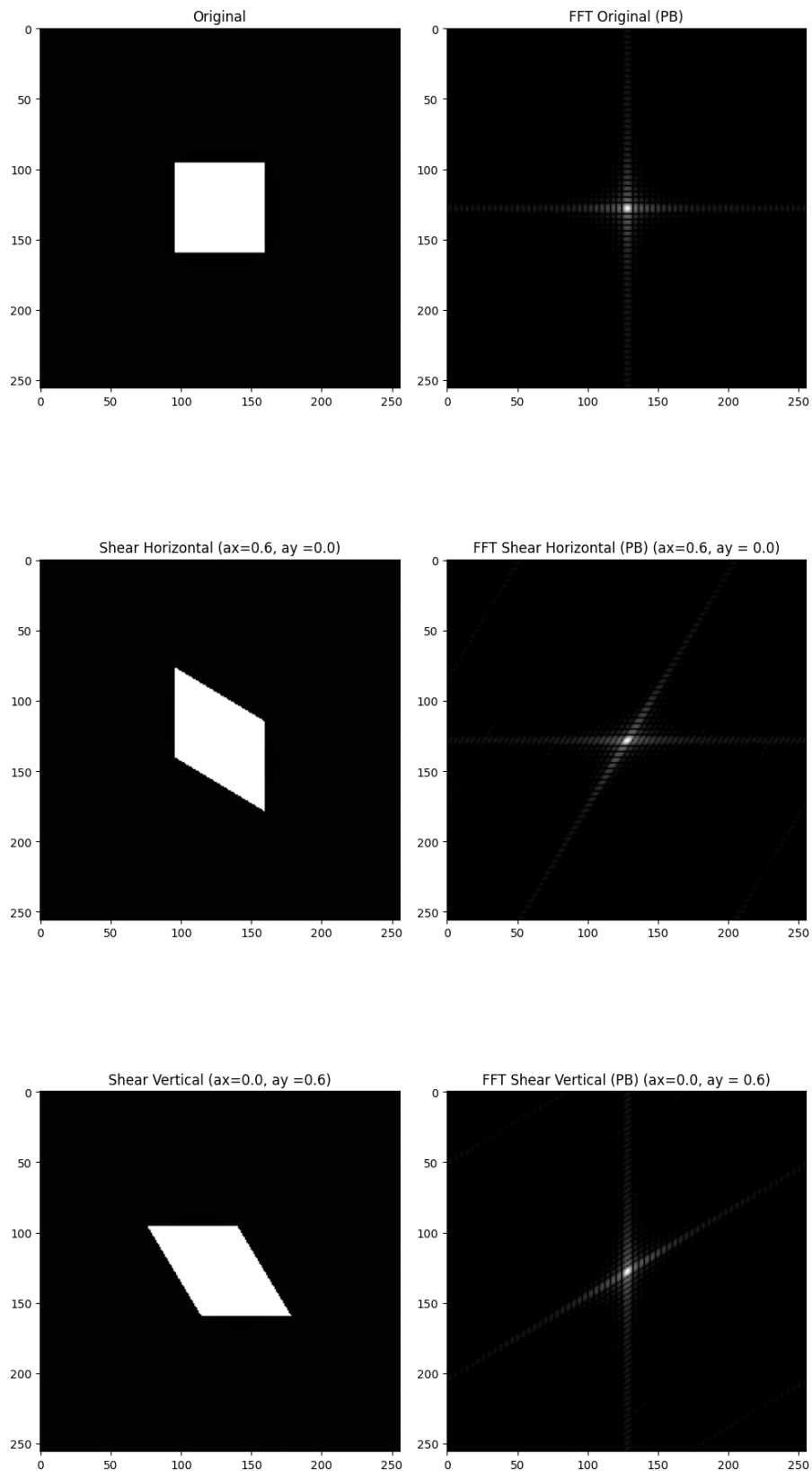


Figura 1: Gráficos das figuras inclinadas e suas respectivas FFT's

É possível notar que o efeito da inclinação também é observável na transformada de Fourier bidimensional. Como demonstrado matematicamente, a inclinação em  $x$  na função inicial, gera uma inclinação em  $y$  na sua transformada de Fourier.

Por fim, é observável o espalhamento no espectro de frequência da imagem, causado pelo fato de estarmos tratando de um sinal discreto (pixels).

## 2.2 Rotação bidimensional

Foi criada uma função *rotate\_image* para gerar a rotação, que é dada abaixo:

```
def rotate_image(image, theta):
    # Pega as dimensões da imagem
    (h, w) = image.shape[:2]
    center = (w // 2, h // 2)
    rotated = np.zeros_like(image)

    # Cria grid de coordenadas de destino
    y_indices, x_indices = np.indices((h, w))
    x_c = x_indices - center[0]
    y_c = y_indices - center[1]

    # Aplica a rotação inversa para encontrar as coordenadas de origem
    cos_t = np.cos(np.radians(theta))
    sin_t = np.sin(np.radians(theta))
    x_src = cos_t * x_c + sin_t * y_c + center[0]
    y_src = -sin_t * x_c + cos_t * y_c + center[1]

    # Interpola os valores da imagem original nas novas coordenadas
    rotated = map_coordinates(image, [y_src.ravel(), x_src.ravel()],
                               order=1, mode='constant', cval=0)
    rotated = rotated.reshape((h, w))
    return rotated
```

A interpolação é feita para remover os "buracos" de pixel causadas pelos arredondamentos da rotação.

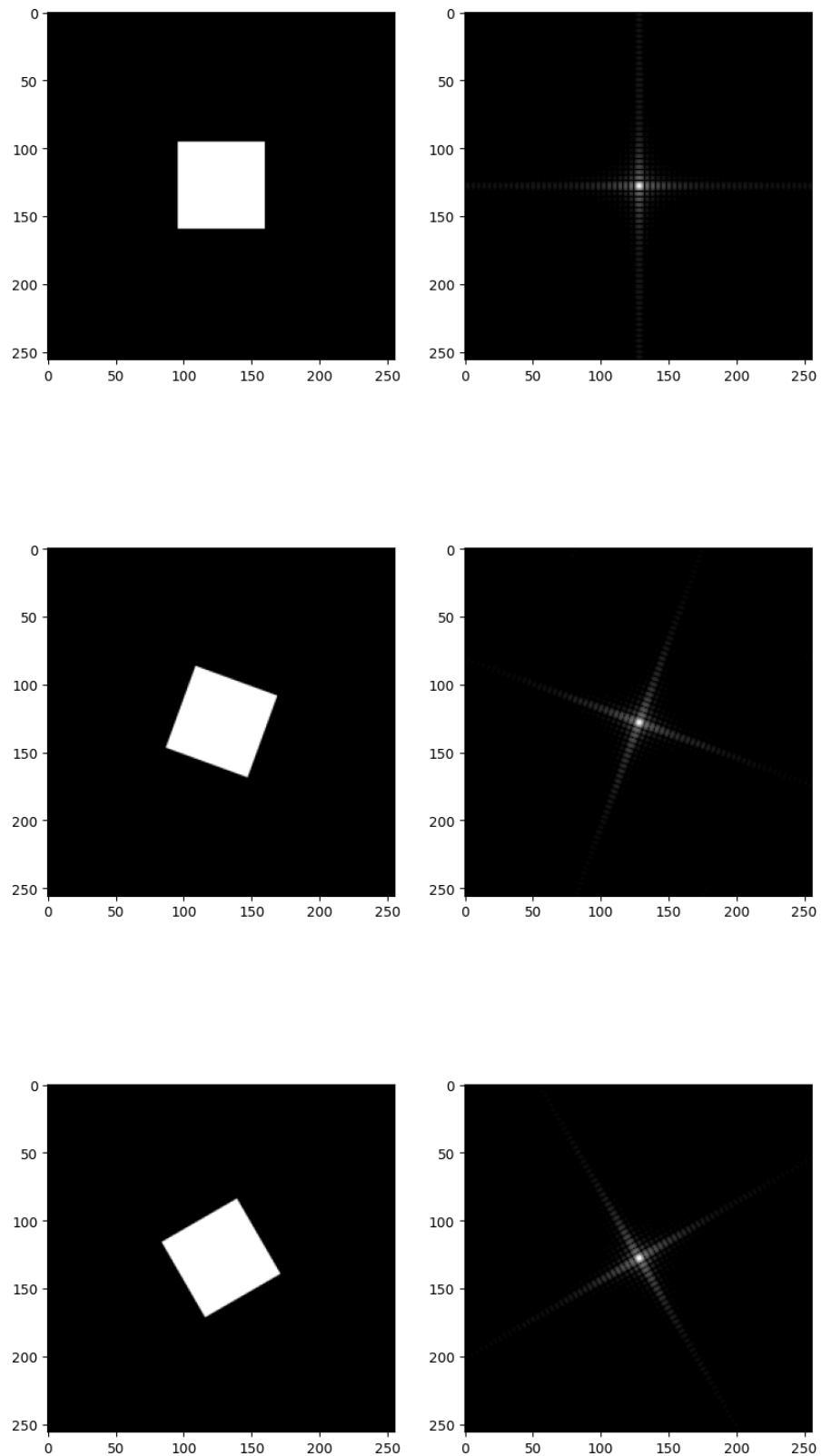


Figura 2: Gráficos das figuras rotacionadas e suas respectivas  $\text{fft}$ 's

Da mesma forma que demonstrado antes, a rotação da imagem original gera uma mesma rotação (variação de parâmetros) na sua transformada de Fourier.